

## 地震動のアテニュエーション特性における地盤条件の評価法について

京大工学部 正会員 後藤尚男  
 京大工学部 正会員 ○杉戸真太

京大工学部 正会員 龜田弘行  
 岐阜県 正会員 原 敏郎

1. まえがき 構造物設計地点において、想定された地震規模(マグニチュードM)と震央距離 $\Delta$ に対する地震動強度(最大加速度、速度、変位)を精度よく推定することは合理的な耐震設計を行なう上で重要である。この場合、過去の強震記録をもとに地震動強度をMと $\Delta$ の関数として表わし、それにより所要のMと $\Delta$ に対して地震動強度を推定する方法がある。しかしながら、一般にこの推定地震強度と実測値の間には多大なばらつきが存在している。このばらつきの要因としては震源域特性、伝播特性および観測地点における表層地盤特性<sup>(1,2), (3)</sup>が考えられている。従来の研究では表層地盤特性によるばらつきをある程度除去するためには道路橋耐震設計指針にある4種の定性的な地盤分類を用いて各地盤種ごとのアテニュエーション式を提案しているが、推定値のさう不確定性はまだ過大なものであると言わねばならない。そこで、ここではわが国の強震記録観測地点について得られている地盤資料をもとにある地盤パラメータを設定し、定量的な地盤特性の算出法について検討する。

2. 回帰分析による地震動強度のアテニュエーション式 解析に用いたデータはわが国で得られた主要な強震記録85成分に後藤<sup>(4)</sup>らによる補正を適用したもので、そのほとんどの最大加速度は50 gal以上である。速度、変位については加速度記録を積分して得られたものである。回帰式は従来よりよく利用されている次式を用いた。

$$\log \bar{Y} = b_0 + b_1 M - b_2 \log(A+C) \quad \text{--- (1)}$$

$\bar{Y}$  は地震荷重、 $b_0, b_1, b_2$  は回帰係数である。定数Cは $C=30\text{ km}$ とした。最大加速度、速度、変位についての回帰分析の結果を表-1に示す。また、地震動強度の実測値を $Y$ 、アテニュエーション式による推定値を $\bar{Y}$ として、その比を推定値からのばらつき $\bar{\sigma}$ とする。

$$\bar{\sigma} = Y/\bar{Y} \quad \text{--- (2)}$$

$\bar{\sigma}$  の対数 $\ln \bar{\sigma}$ 、 $\log \bar{\sigma}$  の標準偏差

表-1 回帰分析の結果 (単位  $A_{max}:\text{gal}$ ,  $V_{max}:\text{kine}$ ,  $\bar{E}_{max}:\text{cm}$ )

地盤荷重	回帰式	$\bar{\sigma}(\ln \bar{\sigma})$	$\bar{\sigma}(\log \bar{\sigma})$	$\bar{\sigma}_\sigma$
最大加速度	$\log \bar{A}_{max} = 2.308 + 0.193 M - 0.719 \log(A+30)$	0.551	0.240	0.596
最大速度	$\log \bar{V}_{max} = 0.061 + 0.242 M - 0.332 \log(A+30)$	0.606	0.263	0.666
最大変位	$\log \bar{E}_{max} = -1.540 + 0.356 M - 0.218 \log(A+30)$	0.617	0.268	0.681

差およびばらつきが対数正規分布に従うと仮定した場合の変動係数 $\bar{\sigma}$ の値を求めて表-1に示した。ここで得られた回帰式は従来の研究結果と比較して震央距離の係数 $b_2$ がかなり小さな値を示すようであるが、これは本研究で使用したデータの範囲、すなわち最大加速度が50 gal程度以上の強震のみを対象にしていることによるものと考えられる。

3. 地盤パラメータの導入 地盤の動的性状を知る上で有効であり、かつ測定が簡便なさのN値がある。このN値を利用した地盤の軟弱さを表わす指標 $S_d$ を次のように定義する。

$$S_d = \int_0^{ds} e^{\frac{dx}{N(x)}} e^{\frac{dx}{\bar{E}(x)}} dx \quad \text{--- (3)}$$

ここで $ds(m)$ は地盤データが得られているところまでの深さであり、 $N(x)$ は深さ $x(m)$ の点

Goto Hisao, Kameda Hiroyuki, Sugito Masata, Hara Toshiro

でのN値である。また $\bar{C}$ は定数である。

いま、地震強度の実測値と推定値の間のはらつき $\bar{C}$ を表層地盤特性によるばらつき $C$ とそれ以外の要因によるばらつきに分離して $C$ を $S_d$ の関数と考え、次のように表わす。

$$D = D_e \cdot C = D_e \cdot \bar{C}(S_d) \quad \cdots \cdots (4)$$

ここで $D_e$ は震源特性や伝播経路の違いによって生ずるばらつきおよび $S_d$ で考慮されない地盤特性によるばらつきと看えられる。また、 $\bar{C}(S_d)$ は次のようにならべ $S_d$ の一次式で表現する。

$$\bar{C}(S_d) = a_1 + a_2 S_d \quad \cdots \cdots (5)$$

(5)式よりのデータのはらつきを最小とするよう $a_1$ ,  $a_2$ を決定し、このときの $S_d$ を最適な地盤パラメータとして採用すれば各地点で固有な地盤特性 $\bar{C}$ が得られる。すなはち、 $M, \Delta$ から推定された地震強度がその地点で平均的にどの程度増減するかを知ることができる。

このような考え方において地震強度のはらつき $\log D$ を従属変数に、 $S_d$ を独立変数にとり、(5)式を求めめたための回帰分析を行なった。加速度、速度、変位について地盤パラメータ $S_d$ から地盤特性 $\bar{C}$ をそれぞれ $\bar{C}_a$ ,  $\bar{C}_v$ ,  $\bar{C}_d$ および $\bar{C}_a$ ,  $\bar{C}_v$ ,  $\bar{C}_d$ というように表わすとそれぞれの地震荷重についての結果は以下のようになる。

$$\log \bar{C}_a = -1.1125 + 0.2745 S_d \quad \cdots \cdots (6)$$

$$\log \bar{C}_v = -0.5359 + 0.1373 S_d \quad \cdots \cdots (7)$$

$$\log \bar{C}_d = -0.6119 + 0.1742 S_d \quad \cdots \cdots (8)$$

図-1, 2, 3に加速度、速度、変位についての $\log D$ と $S_d$ との関係を示した。また $\log D$ の標準偏差と $\log D_e$ の標準偏差とを比較すると、加速度、速度ではほぼ10%の、変位ではほぼ+/-10%の標準偏差の減少が認められた。すなはち、この地盤パラメータ $S_d$ を導入することにより、各地点での地震動強度の推定におけるばらつきが減少したことになり、より信頼性の高い地震動強度予測が期待される。

### 参考文献

- 1) 片山：生産研究，第26巻第1号，昭49. 1.
- 2) 佐伯・片山・岩崎：土木学会第32回年次学術講演会概要集，Vol 1, 昭52. 10.
- 3) 後藤・龜田・今西・橋本：第15回日本地震工学シンポジウム，1978.
- 4) 後藤・龜田・杉戸・今西：土木学会論文報告集第277号，昭53. 9.

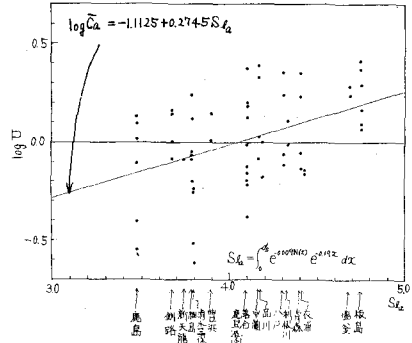


図-1 加速度の $\log D$ と $S_d$ の関係

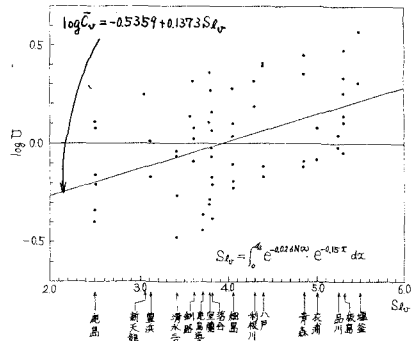


図-2 速度の $\log D$ と $S_d$ の関係

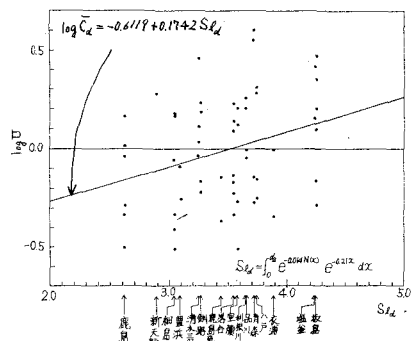


図-3 変位の $\log D$ と $S_d$ の関係